

*М.А. Могилевский, В.В. Булгаков, А.Д. Кормачев*

## ОСОБЕННОСТИ ДЕФОРМИРОВАНИЯ АРМКО-ЖЕЛЕЗА И МЕДИ ПРИ СКОРОСТЯХ ДЕФОРМАЦИИ $10^4 - 10^5 \text{ с}^{-1}$

Исследованы структурные и прочностные изменения в трубчатых образцах армко-железа и меди после разлета в результате взрывного нагружения при скоростях деформации  $10^4 - 10^5 \text{ с}^{-1}$  до заданной степени деформации. В армко-железе переход к адиабатическому сдвигу происходит при значительно более жестких условиях нагружения, чем в прочных сталях. В крупнокристаллической меди при самых жестких из достигнутых параметров нагружения условия для зарождения адиабатического сдвига достигнуты не были. Наблюдался необычный механизм разрушения — зарождение и рост нескольких макроскопических пор на тройных стыках зерен.

Известно, что при скоростях деформации  $\dot{\varepsilon} \geq 10^4 \text{ с}^{-1}$  многие металлы (мартенситные и аустенитные стали, титановые, медные, алюминиевые и другие сплавы) деформируются и разрушаются посредством адиабатического сдвига [1—3]. Адиабатический сдвиг — разновидность интенсивного локализованного сдвига, при которой определяющую роль в локализации играет термическое разупрочнение материала. В публикациях не всегда четко проводится различие между адиабатическим сдвигом и локализованным сдвигом на третьей стадии пластической деформации перед разрушением [4]. Отличительная особенность полос адиабатического сдвига в металлах, не испытывающих фазового перехода, — наличие следов плавления и рекристаллизации. В сталях закалка за счет теплоотвода в матрицу приводит к образованию мартенсита в полосе [1]. Переходу от однородной пластической деформации в объеме к резко неоднородной по полосам адиабатического сдвига способствуют низкий коэффициент деформационного упрочнения, благодаря чему в ходе деформации быстро достигается предельное упрочнение, и большой коэффициент термического разупрочнения (см. критерий Бая [3]).

Армко-железо и медь относятся к металлам, в которых развитие адиабатического сдвига или вообще не отмечается, или происходит в условиях предельно жестких нагрузений [5, 6]. В настоящей работе представлены результаты экспериментов по высокоскоростному деформированию этих металлов по методике взрывного нагружения трубчатых образцов.

Особенность методики эксперимента — остановка разлета трубы, нагруженной взрывом изнутри, на ступенчатой обойме при заданных степенях деформации [2]. В нескольких опытах датчиками сопротивления измерялась скорость раздувания  $v$ , и по ней рассчитывалась средняя скорость деформации  $\dot{\varepsilon} = \frac{v}{r_0}$  (при больших деформациях и слабом росте  $v$  истинное значение  $\dot{\varepsilon}$  монотонно уменьшается со временем). При предельно жестких нагрузлениях в описываемой серии опытов получены следующие параметры деформации: медь М1, труба диаметром 90 мм, толщина стенки 2 мм, нагружение октогеном —  $v = 2 \div 2,1 \text{ км/с}$ ,  $\dot{\varepsilon} \approx (4,5 \div 3) \cdot 10^4 \text{ с}^{-1}$ ; армко-железо, труба диаметром 44 × 8, литой ТГ 50/50 —  $v = 800 \text{ м/с}$ ,  $\dot{\varepsilon} \approx (6 \div 5) \cdot 10^4 \text{ с}^{-1}$ .

Изменения структуры, возникшие в результате высокоскоростной деформации, исследовались на образцах, вырезанных на электроискровом станке перпендикулярно оси трубы при заданных степенях деформации. Образцы после электрополировки и травления изучались на микроскопе Неофот. В аналогичных условиях эксперимента на сталях [2] многочисленные полосы адиабатического сдвига зарождались и активно развивались при  $\dot{\varepsilon} \approx 10^4 \text{ с}^{-1}$  уже при  $\varepsilon = 20 \div 30 \%$ . В данной серии опытов обоймы позво-

ляли останавливать отдельные участки разлетающегося образца при  $\epsilon$  до  $180 \pm 200\%$ .

Следы деформации, в которых наблюдаются явные термические эффекты, появились в трубах из армко-железа, нагруженных гексогеном и октогеном, при  $\dot{\epsilon} = 5 \cdot 10^4 \text{ с}^{-1}$  и  $\epsilon = 150$  и  $100\%$  соответственно (рис. 1, 2). Полосы очень редкие, по всему произошло раскрытие трещин, по берегам которых имеется толстый (порядка 10—30 мкм) слой мелких зерен. Не отмечено ни одного следа, зародившегося внутри, а не на поверхности. Обычно формируются широкие, толщиной в несколько зерен, полосы интенсивного локализованного сдвига. Измерения микротвердости указывают на дополнительное упрочнение в полосах (в образце, представленном на рис. 1, в матрице  $H_V = 1,63 \pm 0,15 \text{ ГПа}$ , в полосе  $H_V = 2,15 \pm 0,10 \text{ ГПа}$ ).

По-видимому, полосы зарождаются в местах с пониженным локальным сопротивлением деформации (аналог шейки в опытах по растяжению), определяемых либо геометрическим фактором (царапина, меньшая толщина), либо физическим (благоприятная для скольжения ориентация нескольких крупных зерен, разрыв по слабой границе). Такая структура — промежуточная между полосами адиабатического сдвига, где термическое разупрочнение способствует все более прогрессирующему сдвигу по полосе, и обычными для многих металлов полосами локализованной деформации, где рост сдвига по полосе приводит к ее упрочнению и, как следствие, к постепенному утолщению полосы. В условиях эксперимента выделения тепла в полосе немного не хватило для проявления термических эффектов. Раскрытие трещины при выходе полосы на поверхность привело вследствие малости толщины трубы к еще большей концентрации напряжений. Интенсивная дополнительная деформация (берега разведены, устья некоторых трещин, как и на рис. 1, сильно округлены) вовлекла за счет работы наклонных систем сдвигов дополнительное большое количество дислокаций, движение которых и выход на поверхность обеспечили, видимо, выделение тепла, недостававшего для достижения температуры рекристаллизации.

Таким образом, можно считать, что предельно жесткие параметры нагружения  $\dot{\epsilon} = 5 \cdot 10^4 \text{ с}^{-1}$  и  $\epsilon = 150\%$  находятся вблизи границы развития адиабатического сдвига в армко-железе. Меньшая склонность армко-железа к развитию адиабатического сдвига по сравнению с прочными

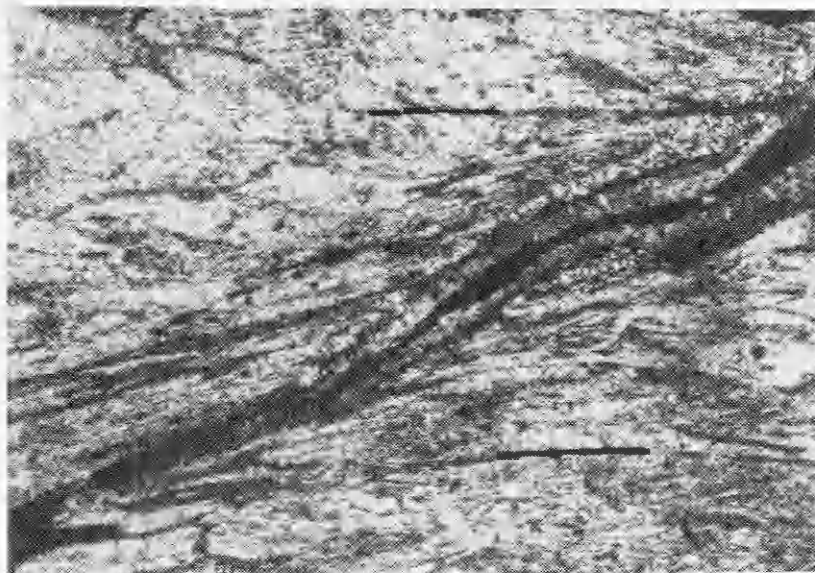


Рис. 1. Армко-железо, нагружение октогеном,  $\dot{\epsilon} = 5 \cdot 10^4 \text{ с}^{-1}$ ,  $\epsilon = 185\% (\times 125)$ ; трещина вдоль полосы интенсивного сдвига, рекристаллизованные зерна.



Рис. 2. Армко-железо, нагружение октогеном,  $\dot{\varepsilon} = 5 \cdot 10^4 \text{ с}^{-1}$ ,  $\varepsilon = 150\% (\times 100)$ ; интенсивные полосы сдвига и трещина у поверхности нагружения с рекристаллизованными зернами.

сталиями [2] определяется, видимо, главным образом большим коэффициентом деформационного упрочнения [3].

В условиях проведенных экспериментов: разлет трубы со скоростью деформации до  $6 \cdot 10^4 \text{ с}^{-1}$  (нагружение октогеном) и деформацией до 200 % полос адиабатического сдвига в меди М1 с размером зерна 0,6—0,7 мм не отмечалось.

Полосы интенсивного локализованного сдвига в меди неоднократно наблюдались при больших  $\varepsilon$  как при малых значениях  $\dot{\varepsilon}$  (см., например, детальный анализ кристаллографии сдвигов в монокристаллах меди при прокатке [7]), так и в случае динамического нагружения (в [8] при обжатии толстостенной трубы детонационной волной, распространяющейся вдоль образующей, имела место потеря устойчивости посредством формирования нескольких интенсивных полос сдвига у внутренней поверхности). По-видимому, лишь в двух работах достигнуты условия для развития в меди адиабатического сдвига.

В [6] проведены испытания на кручение при  $\dot{\varepsilon} = 10^{-2} \div 330 \text{ с}^{-1}$ . При  $\dot{\varepsilon} = 174$  и  $330 \text{ с}^{-1}$  по достижении  $\varepsilon \sim 5,0$  на кривых деформации фиксировался резкий спад. При этом деформация локализовалась в сравнительно узкой полосе толщиной 0,34 мм. Резкое падение упрочнения авторы объяснили выделением тепла при пластической деформации, но детального микроструктурного исследования состояния материала в полосе не проводилось.

Полосы адиабатического сдвига с четко зафиксированным эффектом отжига дислокаций в полосе наблюдались в монокристаллах меди, нагруженных ударной волной с интенсивностью 100 ГПа при 77 К [5]. Анализ показал, что адиабатические сдвиги возникали в волне разгрузки при следующих параметрах:  $\varepsilon = 26,3\%$ ,  $\dot{\varepsilon} = (10 \div 2) \cdot 10^5 \text{ с}^{-1}$ , температура в начале разгрузки 1820 К, в конце разгрузки 1120 К, затем образец попадал в воду. Важной особенностью развития деформации в волне разгрузки была очень высокая температура окружающей матрицы, которая, несмотря на высокую теплопроводность меди, помешала эффективному отводу тепла от полосы сдвига, развивающейся в предельно наклепанном материале. Была предпринята попытка добиться близких параметров деформирования при взрывном нагружении трубы с помощью предварительного подогрева ее до

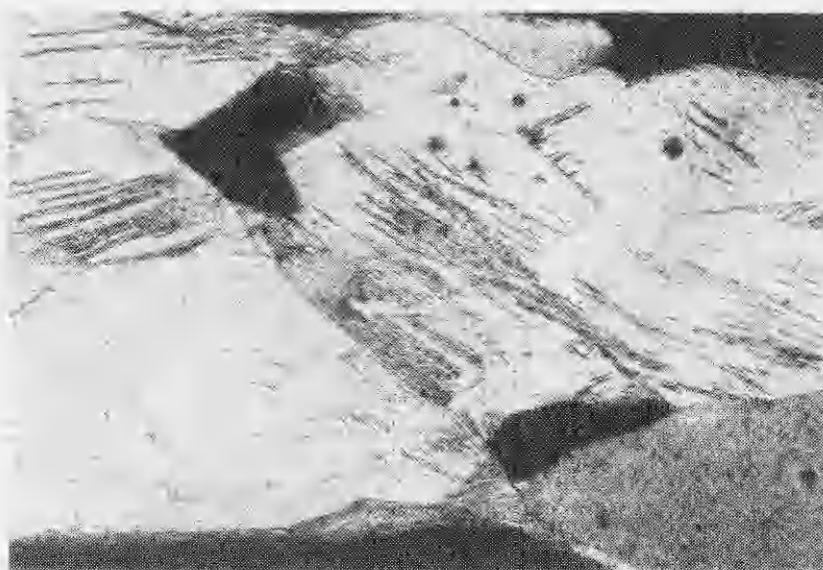


Рис. 3. Медь, нагружение октогеном,  $\dot{\varepsilon} = 4 \cdot 10^4 \text{ с}^{-1}$ ,  $\varepsilon = 50\% (\times 125)$ ; развитие макроскопических пор у тройных стыков зерен.

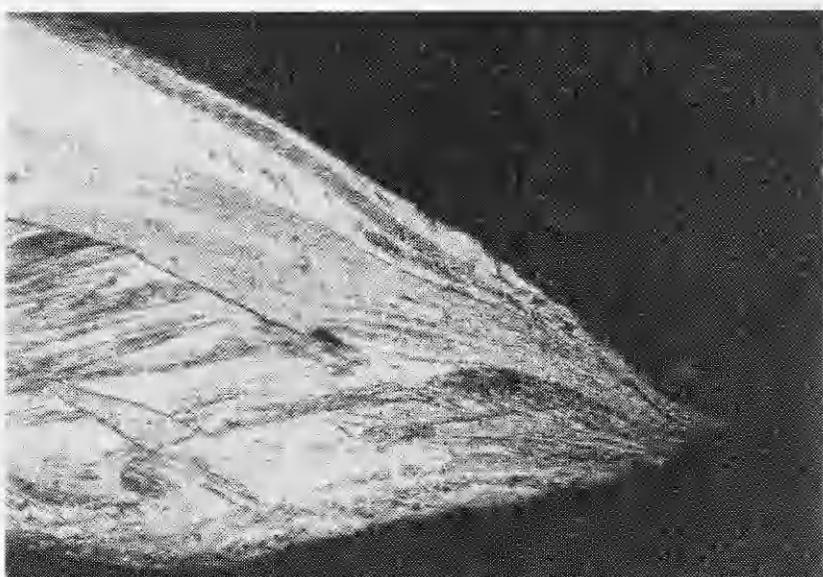


Рис. 4. Медь, нагружение октогеном,  $\dot{\varepsilon} = 4 \cdot 10^4 \text{ с}^{-1}$ ,  $\varepsilon = 50\% (\times 125)$ ; завершающая стадия разрушения — формирование шейки.

870 К (в опыте  $\dot{\varepsilon} = 4 \cdot 10^4 \text{ с}^{-1}$ ,  $\varepsilon$  до 200 %). Осколки принимались в обойму изо льда. Деформационную структуру удалось зафиксировать, но полос адиабатического сдвига не найдено.

В крупнокристаллической меди в условиях высокоскоростного нагружения с  $\dot{\varepsilon} = 4 \cdot 10^4 \text{ с}^{-1}$  при  $\varepsilon \sim 100\%$  реализовался необычный механизм деформации — нарушение сплошности и рост макроскопических пор в местах тройных стыков зерен (рис. 3). В процессе последующей деформации объединение пор приводит к образованию шейки (рис. 4). Характерно, что в пластичной меди даже при росте нескольких крупных пор продолжалась

однородная деформация трубы вплоть до торможения на обойме при  $\epsilon = 200\%$ , что определялось по остаточной толщине образца.

На основании проведенной работы можно сделать следующие выводы.

1. В условиях взрывного нагружения трубчатых образцов армко-железа критические условия для развития адиабатического сдвига достигаются при значительно более жестких нагрузлениях ( $\dot{\epsilon} \approx 5 \cdot 10^4 \text{ с}^{-1}$ ,  $\epsilon \approx 150\%$ ), чем в стальных. Вероятно, это связано с большим значением коэффициента деформационного упрочнения у мягкого железа.

2. В меди при высокоскоростном растяжении с  $\dot{\epsilon} = 4 \cdot 10^4 \text{ с}^{-1}$  и  $\epsilon = 200\%$  не достигнуты условия для зарождения адиабатического сдвига.

3. В крупнокристаллической меди наблюдался необычный механизм деформации — зарождение и рост макроскопических пор на тройных стыках зерен.

#### ЛИТЕРАТУРА

1. Rogers H.G. Adiabatic plastic deformation // Ann. Rev. Mater. Sci. — 1979. — 9. — P. 283—311.
2. Могилевский М.А., Булгаков В.В., Кормачев А.Д. Критические параметры нагружения для развития адиабатического сдвига в стальных. // Обработка материалов импульсными нагрузками. — Новосибирск: СКБ ГИТ, 1990. — С. 126—133.
3. Bai Y.L. Evolution of thermo-visco-plastic shearing // Inst. Phys. Conf., Ser. 102, Session 3, Mech. Prop. Materials at High Rates of Strain. — Oxford. — 1989. — P. 99—110.
4. Конева Н.А., Шаркев Ю.П. и др. Поверхностная картина скольжения и механизмы деформации ГЦК сплавов // Физика и технология упрочнения поверхности металлов. — Л.: ФТИ, 1985. — С. 79—85.
5. Могилевский М.А., Бушнев Л.С. Последовательность развития деформационной структуры в алюминии и меди при ударно-волновых нагрузлениях до 50 и 100 ГПа // ФГВ. — 1990. — 26, № 2. — С. 95—102.
6. Lindholm U.S. et al. Large Strain, High Strain Rate Testing of Copper // Trans. ASME. — 1980. — 102. — P. 376—382.
7. Bochniak W. Microstructural and Macroscopic Strain Localization in Copper Single Crystals Rolled at Different Temperatures // Z. Metallkde. — 1988. — 79, N 12. — P. 788—795.
8. Нестеренко В.Ф., Лазариди А.Н., Першин С.А. Взрывная обработка толстостенной медной оболочки // ФГВ. — 1989. — 25, № 4. — С. 154—155.

~630090, г. Новосибирск  
ИГиЛ СО РАН

Поступила в редакцию 11/VI 1993,  
после доработки — 16/XI 1993

УДК 532.529

A.B. Федоров

#### СТАЦИОНАРНАЯ УДАРНАЯ ВОЛНА В ДВУХТЕМПЕРАТУРНОЙ СМЕСИ ГАЗА И ТВЕРДЫХ ЧАСТИЦ С УЧЕТОМ ПЛАВЛЕНИЯ

Дан анализ различных типов ударных волн в смеси газа и твердых частиц с учетом их плавления и реального вида кинетического уравнения плавления. Течение смеси равновесно по скоростям, неравновесно по температурным конденсированный и газовой фаз. Численные расчеты подтвердили существование предсказанных типов течений смеси, выявили, в частности, течение с солитоноподобным распределением температуры газа.

В [1] изучена проблема стационарного распространения ударной волны (УВ) в смеси газа и мелких частиц в рамках односкоростного однотемпературного течения при учете неравновесного плавления твердых частиц. Рассматривались УВ умеренной интенсивности, когда в уравнениях теплообмена между фазами можно пренебречь некоторыми членами, ответственными за теплообмен между жидким и твердым состояниями, теплопоглощением за счет фазового перехода (см. [2]). Упрощения, возникающие в рамках этих предположений, приводили к простейшему виду кинетических уравнений

© A.B. Федоров, 1994.